

時間差分スキーム (3)

リープフロッグスキームの安定性と位相

リープフロッグスキームの場合, 2つの増幅係数 λ_1 と λ_2 が存在する. 時間差分スキーム (2) の (22) 式より振動方程式にリープフロッグスキームを当てはめた差分式は,

$$U^n = a\lambda_1^n U_1^0 + b\lambda_2^n U_2^0.$$

したがって, 安定性条件は,

$$|\lambda_1| < 1,$$

$$|\lambda_2| < 1$$

であることである. 以下では安定性条件を詳しくみるために, 3つの特別な場合について考える.

Case1. $|p| < 1$ のとき

時間差分スキーム (2) の三段階スキームの安定性より, $1 - p^2 > 0$ のときは

$$\begin{aligned} |\lambda_1| &= \sqrt{\lambda_1 \lambda_1^*} = 1, \\ |\lambda_2| &= \sqrt{\lambda_2 \lambda_2^*} = 1. \end{aligned} \tag{1}$$

よって, $|p| < 1$ のとき, 安定性は中立となる. 位相については,

$$\theta = \arctan\left(\frac{\lambda_{im}}{\lambda_{re}}\right)$$

より,

$$\begin{aligned} \theta_1 &= \arctan\left(\frac{p}{\sqrt{1-p^2}}\right), \\ \theta_2 &= \arctan\left(-\frac{p}{\sqrt{1-p^2}}\right). \end{aligned} \tag{2}$$

$p \rightarrow 0$ の時の位相の振る舞いについて考える. 右極限 $p \rightarrow +0$ を考えると

$$\tan \theta_1 = \frac{p}{\sqrt{1-p^2}} > 0,$$

$$\tan \theta_2 = -\frac{p}{\sqrt{1-p^2}} < 0.$$

ゆえに,

$$0 < \theta_1 < \frac{\pi}{2},$$

$$\frac{\pi}{2} < \theta_2 < \pi.$$

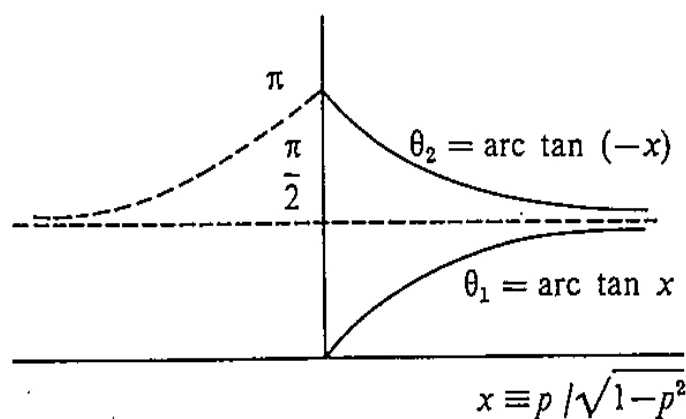


図 1: リーフログスキームにおける物理モードと計算モードの位相の振る舞い (Mesinger and Arakawa (1976) より引用).

図 1 より,

$$\theta_2 = \pi - \theta_1.$$

特に, $p \rightarrow 0$ のとき, $\theta_1 \rightarrow p$, $\theta_2 \rightarrow \pi - p$ である. $p = \omega \Delta t$ であるから, $\Delta t \rightarrow 0$ のとき物理モードの位相は真の解の位相に近づくことがわかる. 一方, 計算モードの位相は π ずれてしまう. 同様に $p < 0$ で左極限 $p \rightarrow -0$ を考えると,

$$-\pi < \theta_1 < -\frac{\pi}{2},$$

$$-\frac{\pi}{2} < \theta_2 < 0$$

であるから,

$$\theta_2 = -\pi - \theta_1.$$

結局, $p \geq 0$ をまとめて表すと,

$$\theta_2 = \pm\pi - \theta_1 \quad (\text{複号同順}) \quad (3)$$

となる.

物理モードの位相 θ_1 の振る舞いは次の通りである. $p \ll 1$ のとき,

$$\theta_1 = \arctan \left(\frac{p}{\sqrt{1-p^2}} \right)$$

なので,

$$\begin{aligned} \theta_1 &= \arctan \left(\frac{p}{\sqrt{1-p^2}} \right) \\ &\sim \arctan \left\{ p \left(1 + \frac{1}{2!}p^2 - 9\frac{1}{4!}p^4 + \dots \right) \right\} \\ &\sim \left(p + \frac{1}{2}p^3 \right) - \frac{\left(p + \frac{1}{2}p^3 \right)^3}{3} + \dots \\ &\sim p + \frac{p^3}{6} + \dots \end{aligned}$$

ゆえに,

$$\frac{\theta_1}{p} = 1 + \frac{p^2}{6} > 1.$$

リーブフロッグスキームの物理モードの位相は真の解よりも早く進む. 但し, 松野スキームよりは遅い.

次に, θ_1 の微分を考える¹⁾.

$$\begin{aligned}\frac{d\theta_1}{dp} &= \left(\frac{1}{1 + \left(\frac{p}{\sqrt{1-p^2}} \right)^2} \right) \left(\frac{1}{\sqrt{1-p^2}} + \frac{p^2}{\sqrt{1-p^2}(1-p^2)} \right) \\ &= (1-p^2) \left(\frac{1}{\sqrt{1-p^2}(1-p^2)} \right) \\ &= \frac{1}{\sqrt{1-p^2}}.\end{aligned}$$

$\frac{d\theta_1}{dp} > 0$, $p \rightarrow 1$ のとき, $\theta_1 \rightarrow \frac{\pi}{2}$. さらに $p \geq 0$ のとき $\theta_2 = \pm\pi - \theta_1$. したがって,

$$\begin{aligned}U_1^n &= U_1^0 e^{in\theta_1}, \\ U_2^n &= U_2^0 e^{in(\pm\pi - \theta_1)}.\end{aligned}\tag{4}$$

簡単のために $\theta_1 = \frac{\pi}{8}$ の場合を考える. さらに, 初期において $Im(U_1^0) = 0$, $Im(U_2^0) = 0$ とする. このとき, 物理モード U_1^n の位相は反時計回りに $\frac{\pi}{8}$ ずつずれる. 計算モード ($p > 0$) の位相は $\theta_2 = \pi - \theta_1$ より時計回りに進む. これらを実部と虚部に分けると, U_1 は

$$U_1^n = U_1^0 (\cos n\theta_1 - i \sin n\theta_1).$$

よって,

$$\begin{aligned}Re[U_1^n] &= U_1^0 \cos n\theta_1, \\ Im[U_1^n] &= U_1^0 \sin n\theta_1.\end{aligned}$$

U_2 は

$$\begin{aligned}U_2^n &= U_2^0 e^{in(\pi - \theta_1)} \\ &= U_2^0 e^{in\pi} e^{-in\theta_1} \\ &= (-1)^n U_2^0 (\cos n\theta_1 - i \sin n\theta_1).\end{aligned}$$

¹⁾ $\arctan x$ の微分を考える. $y = \arctan x$ とすると, $x = \tan y$ と書きかえることができる. よって,

$$\begin{aligned}\frac{dy}{dx} &= \frac{1}{\frac{dx}{dy}} \\ &= \frac{1}{\frac{1}{\cos^2 y}} \\ &= \frac{1}{1 + \tan^2 y} \\ &= \frac{1}{1 + x^2}.\end{aligned}$$

よって,

$$\begin{aligned} \operatorname{Re}[U_2^n] &= (-1)^n U_2^0 \cos n\theta_1, \\ \operatorname{Im}[U_2^n] &= (-1)^{n+1} U_2^0 \sin n\theta_1. \end{aligned}$$

これらを図示すると図2の様になる.

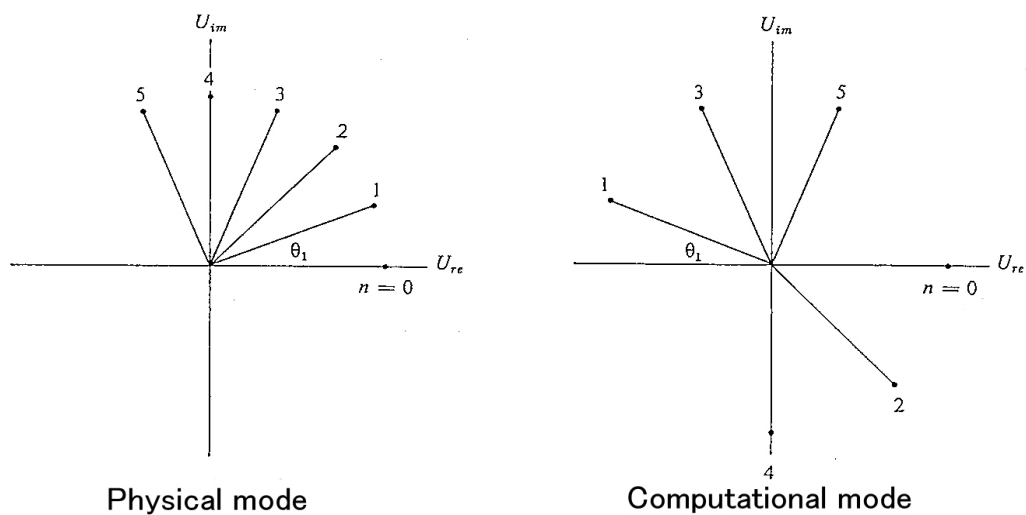


図2: 物理モードと計算モード. U_1 の方は n が増えると反時計回りに動いていく. U_2 の方は + と - が交互に入れ替わってしまう.

Case2. $|p| = 1$ のとき

$$\lambda_1 = \lambda_2 = ip$$

なので,

$$|\lambda_1| = |\lambda_2| = 1. \quad (5)$$

ゆえに, この場合, 物理モードも計算モードもともに安定性は中立である. θ_1 の位相は,

$$\theta = \arctan\left(\frac{\lambda_{im}}{\lambda_{re}}\right),$$

$$\tan \theta_1 = \frac{p}{\sqrt{1-p^2}} \rightarrow \infty \quad (|p| \rightarrow 1).$$

同様に θ_2 の位相は,

$$\tan \theta_2 = -\frac{p}{\sqrt{1-p^2}} \rightarrow \infty \quad (|p| \rightarrow 1).$$

よって,

$$\theta_1 = \theta_2 = \pm \frac{\pi}{2} \quad (p = \pm 1). \quad (6)$$

このとき解はどちらのモードも,

$$U^n = U^0 e^{\pm in \frac{\pi}{2}} \quad (7)$$

となる.

Case3. $|p| > 1$ のとき

$$\lambda_1 = i(p + \sqrt{p^2 - 1}),$$

$$\lambda_2 = i(p - \sqrt{p^2 - 1}).$$

括弧の中身が実数であることに注意すれば,

$$|\lambda_1| = |p + \sqrt{p^2 - 1}|,$$

$$|\lambda_2| = |p - \sqrt{p^2 - 1}| \quad (8)$$

である. したがって,

$$|\lambda_1| > 1 \quad (p > 1),$$

$$|\lambda_2| > 1 \quad (p < -1).$$

ゆえに, 安定性は不安定である. $|p|$ が 1 を越えると, 急激に不安定になる. 例えば, $p > 1$ のとき,

$$\frac{d\lambda_1}{dp} = 1 + \frac{p}{\sqrt{p^2 - 1}}.$$

よって, $p \rightarrow +1$ のとき発散する. 位相は Case2 のときと同様にして,

$$\theta_1 = \theta_2 = \pm \frac{\pi}{2}. \quad (9)$$

解は,

$$\begin{aligned} U_1^n &= |p + \sqrt{p^2 - 1}|^n U_1^0 e^{\pm i n \frac{\pi}{2}}, \\ U_2^n &= |p - \sqrt{p^2 - 1}|^n U_2^0 e^{\pm i n \frac{\pi}{2}}. \end{aligned} \quad (10)$$

位相の進み方は Case2 と同じだが, 振幅は時間とともに増加することがわかる.

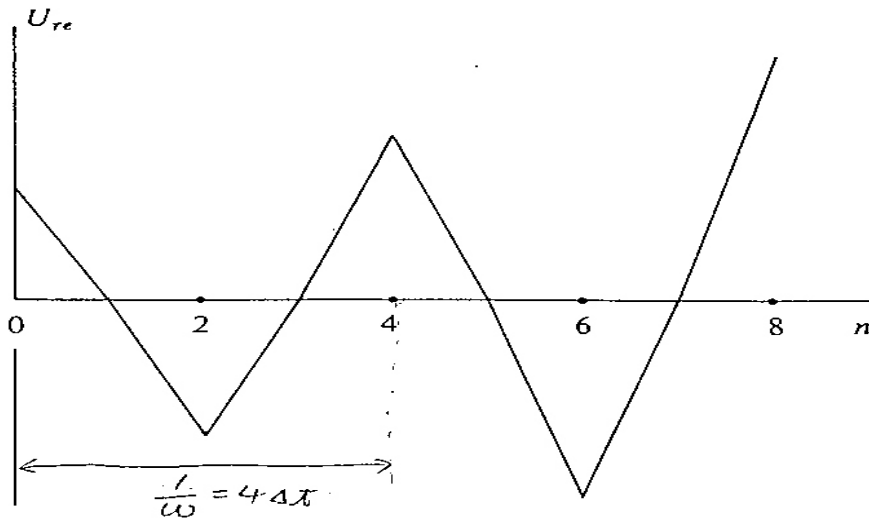


図 3: リープフロッグスキームにおける不安定モードの実部と時間の関係. $|\lambda| = 1.1$ とし, 初期時刻において虚部をゼロとしている.

図 3 より, 不安定なモードの周期は $4\Delta t$ である.

まとめ

リープフロッグスキームの利点は 2 次精度であることと, $|\omega\Delta t| \leq 1$ のときに安定であることである. 一方, 欠点は計算モードの安定性が中立であることと, 非線形方程式の場合に計算モードの増加する場合があることである. なお, 計算モードを排除するには, 途中で 2 段階スキームを差し込むとよい.

アダムス-バッシュフォース (Adams-Bashforth) スキームの安定性と位相

時間差分スキーム (1) のアダムス-バッシュフォーススキームにおいて, $f = i\omega U$ と置いたとき,

$$\begin{aligned} U^{n+1} &= U^n + \Delta t \left(\frac{3}{2}f^n - \frac{1}{2}f^{n-1} \right) \\ &= U^n + i\omega\Delta t \left(\frac{3}{2}U^n - \frac{1}{2}U^{n-1} \right). \end{aligned} \quad (11)$$

このとき増幅係数 λ は,

$$\begin{aligned} U^n &= \lambda U^{n-1}, \\ U^{n+1} &= \lambda U^n = \lambda^2 U^{n-1} \end{aligned}$$

を (11) 式に代入して,

$$\lambda^2 - \left(1 + i\frac{3}{2}p \right) \lambda + i\frac{1}{2}p = 0.$$

但し, $p \equiv \omega\Delta t$ である. ゆえに, アダムス-バッシュフォーススキームもリープフロックススキームと同様に 2 つの λ をもつ. 上式を λ について解くと,

$$\begin{aligned} \lambda_1 &= \frac{1}{2} \left[1 + i\frac{3}{2} + \sqrt{1 - \frac{9}{4}p^2 + ip} \right], \\ \lambda_2 &= \frac{1}{2} \left[1 + i\frac{3}{2} - \sqrt{1 - \frac{9}{4}p^2 + ip} \right]. \end{aligned} \quad (12)$$

$p \rightarrow 0$ のとき, $\text{Rm}\lambda_1 \rightarrow 1$, $\text{Rm}\lambda_2 \rightarrow 0$ である. したがって, λ_1 に対応するモードが物理モード, λ_2 に対応するモードが計算モードである. p が十分小さいとき, 計算モードは減衰する. これはアダムス-バッシュフォーススキームの利点である. そこで, $|p| < 1$ のときの λ_1 と λ_2 の振る舞いを調べる. (12) 式の根号の部分をテイラー展開し, 地道に計算すると,

$$\begin{aligned} \lambda_1 &= 1 + i\frac{3}{2} + \frac{1}{4}ip - \frac{1}{2}p^2 + i\frac{1}{32}p^3 - \frac{1}{16}p^4 + \dots, \\ \lambda_2 &= i\frac{3}{2} - \frac{1}{4}ip + \frac{1}{2}p^2 - i\frac{1}{32}p^3 + \frac{1}{16}p^4 - \dots. \end{aligned}$$

実部と虚部に分けて表すと,

$$\begin{aligned} \lambda_1 &= \left(1 - \frac{1}{2}p^2 - \frac{1}{16}p^4 - \dots \right) + i \left(\frac{3}{2} + \frac{1}{4}p + \frac{1}{32}p^3 + \dots \right), \\ \lambda_2 &= \left(\frac{1}{4}p^2 + \frac{1}{16}p^4 + \dots \right) + i \left(\frac{3}{2} - \frac{1}{4}p - \frac{1}{32}p^3 - \dots \right) \end{aligned}$$

となるので,

$$\begin{aligned}
 |\lambda_1| &= \sqrt{\lambda_1 \lambda_1^*} \\
 &= \left(1 + \frac{9}{4} + \frac{3}{4}p + \dots \right)^{\frac{1}{2}}, \\
 |\lambda_2| &= \sqrt{\lambda_2 \lambda_2^*} \\
 &= \left(\frac{9}{4} - \frac{3}{4}p + \dots \right)^{\frac{1}{2}}.
 \end{aligned} \tag{13}$$

さらにテイラー展開すると最終的に,

$$\begin{aligned}
 |\lambda_1| &= \frac{13}{4} + \frac{39}{32}p + \dots, \\
 |\lambda_2| &= \frac{9}{4} - \frac{27}{32}p + \dots
 \end{aligned} \tag{14}$$

を得る. $|\lambda_1|$ も $|\lambda_2|$ もともに 1 より大きいので, アダムス-バッシュフォーススキームの物理モードは不安定である. しかし, 4 段階数のアダムス-バッシュフォーススキームなら物理モードは安定であることも知られている.

参考文献

川畑 拓哉, 2011, 「時間差分スキーム (1)」

URL:http://www.ep.sci.hokudai.ac.jp/~gfdlab/comptech/resume/0728/2011_0728-takuya.pdf

Mesinger, F., and Arakawa, A., 1976, Numerical methods used in atmospheric models, GARP Publications series (World Meteorological Organization), No. 17, Part 1., 64 pp

石岡 圭一, 2004, 「スペクトル法による数値計算入門」, 東京大学出版会, ISBN:4130613057

竹野 茂治, 2009, 「勾配から角度を求める展開式」

URL:<http://takeno.iee.niit.ac.jp/~shige/math/lecture/basic3/data/arctan1.pdf>

KIT 数学ナビゲーション, 2007, 「微分 arctanx」

URL:<http://w3e.kanazawa-it.ac.jp/math/category/bibun/keisan/henkan-tex.cgi?target=/math/category/arctan.html>